

《報文》 HWAHAK KONGHAK Vol. 20, No. 4, August 1982, pp. 255-266  
 (Journal of the Korean Institute of Chemical Engineers)

## 해테로폴리酸系 觸媒에 依한 n-Butene 의 異性化反應

金弘坤 · 金在振 · 李華榮 · 李載聖

서울大學校 工科大學 化學工學科

(1982년 7월 31일 접수)

## Isomerization of n-Butenes over Heteropoly Acid Compounds

Hong Gon Kim, Jae Jin Kim, Wha Young Lee and Jai-Sung Lee

Department of Chemical Engineering, College of Engineering,  
 Seoul National University, Seoul 150, Korea

(Received; July 31, 1982)

### 要 約

酸化反應에 有効한 固體 해테로폴리 12-몰리보도 磷酸과 그의 金屬鹽 觸媒를 利用하여 n-Butene의 異性化 反應性 및 選擇性의 變化를 調査함으로써 觸媒의 特性을 檢討하였다. 觸媒表面에 水分이 供給되면 反應性 및 活性持續度가 向上되었으며, 基本酸內의 水素이온을 一部만 置換시켜 金屬鹽을 製造하면 向上된 活性度를 나타내었다.

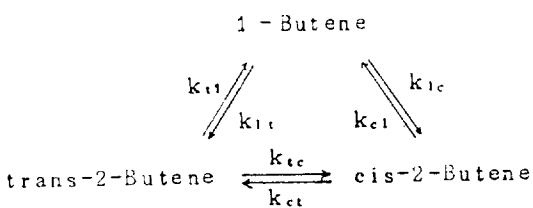
### ABSTRACT

Heteropoly acids and their related compounds function not only as acidic solid catalysts with redox characteristics, but also as catalysts selective to the oxidation reaction like the formation of methacrylic acid from methacrolein. For the investigation of their catalytic characteristics, the isomerization of n-butenes was studied using the catalysts of 12-molybdo phosphoric acid and its several metal salts. The catalytic activities of heteropoly acid were increased with the injected water vapor, and metal salts prepared with partial exchange of hydrogen ions gave much higher activities.

## 1. 緒論

해테로폴리酸은 2種以上的 다른 酸基가 酸素原子를 共有해서 生成되는 縮合酸으로서, 近年에 아크릴로니트릴 合成時의 Ammonoxidation 用觸媒로 開發된 以後 強한 酸性을 띠는 酸化用觸媒로 알려졌으며,<sup>3,6)</sup> 特히 12-몰리브도磷酸과 그의 金屬鹽은 메타크롤레인으로부터 메타크릴산의 製造와 같은 低級 올레핀과 알데히드等의 酸化反應에서 特出한 觸媒活性을 나타내고 있다.<sup>3,6)</sup> 또한 強한 固體酸이면서도 同時に 酸化一還元의 二元的 機能을 나타내는 特性을 갖고 있고, 中心原子와 配位原子의 元素들을 多樣하게 變化시킬 수 있으므로 여러가지 觸媒로서의 活用可能性이 큰 化合物로도 期待되고 있다. 해테로폴리酸의 縮合構造에 對해서는 많은 解析이 進行되었으나,<sup>1,3)</sup> 酸度와 表面構造 等의 觸媒表面特性에 對한 研究는 最近에 行해지고 있다.<sup>4,5)</sup>

本研究에서는 해테로폴리 12-몰리브도磷酸系 觸媒를 利用하여, butene 以外의 物質이 關與하지 않는 n-butene의 异性化 反應을 進行시킴으로써 觸媒의 特性을 調査하고, 그의 反應機構를 解析해 보았다. Butene의 异性化 反應은 分子再配列에 對한 研究의 가장 簡單한 形態中의 하나로서, 2-butene의 cis 形과 trans 形의 變形,<sup>12)</sup> 1-과 2-의 二重結合位置의 移動,<sup>11)</sup> n-butene과 isobutylene 사이의 炭素骨格 變形<sup>13)</sup> 等 3 가지의 可能한 反應形態를 갖는다. 이 中 觸媒上에서 炭化水素의 骨格構造 變形이 없는, 올레핀의 二重結合構造 및 cis-trans 間의 异性化 反應은一般的으로 세 物質間의 相互反應을 하며, 特히 酸化物 觸媒上에서는 反應이 一次 反應次數의 經路를 따르는 것으로 알려져 있다.<sup>7,8,9)</sup>



그러나  $\text{La}_2\text{O}_3$ ,<sup>14),15)</sup>  $\text{SiO}_2 - \text{Al}_2\text{O}_3$ <sup>10)</sup> 等의 觸媒에 對해서는 各 物質을 中間生成物로 보는 反應經路가 보고 되고 있어, 一定한 反應經路는 아직 밝혀지지 않은 狀態이다.

## 2. 實驗

### 2.1. 觸媒의 製造<sup>2)</sup>

本 實驗에 使用된 해테로폴리酸系 觸媒의 基本 物質인 12-몰리브도磷酸(12-Molybdophosphoric Acid,  $\text{H}_3\text{PMo}_{12}\text{O}_{40} \cdot x\text{H}_2\text{O}$ )은 無水물리브덴酸( $\text{MoO}_3$ )과 85% 磷酸을 蒸溜水에  $\text{P} : \text{Mo} = 1 : 12$  가 되게 섞어 適當한 酸性範圍의 PH下에서 加熱하여 製造하였으며, 그의 金屬鹽들은 基本酸의 水素이온과 金屬이온의 置換比에 따른 理論的混合에 依存하여 置換한 金屬의 炭酸鹽 또는 窒酸鹽 等을 添加하여 適當한 酸性範圍의 PH下에서 加熱하여 製造하였다. 이는 Tsigdinos<sup>2)</sup>의 製造方法을 따른 것으로서, 이와 같이 製造된 물리브덴系 해테로폴리酸과 이의 金屬鹽들은  $\text{P} : \text{Mo} = 1 : 12$  的 比로 結晶化된다.<sup>2)</sup> 實驗에 使用된 觸媒들의 要約된 製造方法은 Table I 과 같다.

### 2.2. 觸媒의 結晶構造 分析

觸媒의 結晶水 및 結晶構造의 確認을 為하여 热分析과 X-線回析分析을 行하였다. 해테로폴리酸系 觸媒의 特徵인 多量의 結晶水分子는 TGA(質量變化分析)의 減量曲線에서 測定된 質量變化率로부터 求하였으며 各 觸媒에 對한 热分析結果를 Table 2에 例示하였다. 一般的으로 觸媒內에 含有된 結晶水는 50~100°C附近의 一次脫水, 100~150°C附近의 二次脫水에 依해 거의 脫水되고, 以後 1~2個의 물分子만이 漸次의 으로 脫水되다가 構造破壞時에 完全脫水가 일어났다. 結晶構造는 350~500°C 사이에서 部分的으로 破壞되며, 500~600°C附近에서 完全變形이 일어났다. 그러나 製造時 약간의 縱濁液相을 形成하는 세슘(Cs)으로 水素置換시킨 鹽은 650°C以上의 高溫에서도 變形되지 않아서 热的 安定性이 매우 높은 것으로 調査되었으며 水素이온

Table 1. Preparation of Heteropoly 12-Molybdophosphates

Salts	$H_3PMo_{12}O_{40}$ used	Metal Salts used Material	Weight(gr.)	Color	Specific Surface Area $m^2/gr\text{-cat.}$
Li <sub>3</sub> P	II	Li <sub>2</sub> CO <sub>3</sub>	0.2217	dark Gr.	6.9
Na <sub>3</sub> P	II	Na <sub>2</sub> CO <sub>3</sub>	0.3180	dark Gr.	9.5
Cs <sub>3</sub> P	I	Cs NO <sub>3</sub>	0.5847	Wh. Yl.	21.4
Cs <sub>2</sub> HP	I	Cs NO <sub>3</sub>	0.3898	Yl.	5.3
CsH <sub>2</sub> P	I	Cs NO <sub>3</sub>	0.1949	Yl.	7.2
Mg <sub>3</sub> P <sub>2</sub>	I	Mg(NO <sub>3</sub> ) <sub>2</sub> 6H <sub>2</sub> O	0.3846	Yl.	5.9
Ca <sub>3</sub> P <sub>2</sub>	II	Ca CO <sub>3</sub>	0.3003	Wh. Gr.	6.2
Sr <sub>3</sub> P <sub>2</sub>	III	Sr(NO <sub>3</sub> ) <sub>2</sub>	0.6349	Or.	10.5
Ba <sub>3</sub> P <sub>2</sub>	II	Ba CO <sub>3</sub>	0.5921	Cr.	12.5
Al P	I	Al(NO <sub>3</sub> ) <sub>3</sub> 9H <sub>2</sub> O	0.3751	Yl.	4.7
Bi P	III	Bi(NO <sub>3</sub> ) <sub>3</sub> 5H <sub>2</sub> O	0.9702	Or.	3.9
Cr P	III	Cr(NO <sub>3</sub> ) <sub>3</sub> 9H <sub>2</sub> O	0.8003	dark Gr.	8.1
Mn <sub>3</sub> P	I	MnCO <sub>3</sub>	0.1724	Yl.	23.0
Fe P	I	Fe(NO <sub>3</sub> ) <sub>3</sub> 9H <sub>2</sub> O	0.4040	Yl.	4.8
Fe <sub>2</sub> H <sub>3</sub> P <sub>3</sub>	I	Fe(NO <sub>3</sub> ) <sub>3</sub> 9H <sub>2</sub> O	0.2693	Yl.	3.9
Fe H <sub>6</sub> P <sub>3</sub>	I	Fe(NO <sub>3</sub> ) <sub>3</sub> 9H <sub>2</sub> O	0.1347	Yl.	3.7
Co <sub>3</sub> P <sub>2</sub>	I	Co(NO <sub>3</sub> ) <sub>2</sub> 6H <sub>2</sub> O	0.4366	Rd. Yl.	4.5
Ni <sub>3</sub> P <sub>2</sub>	II	Ni(NO <sub>3</sub> ) <sub>2</sub> 6H <sub>2</sub> O	0.4362	bright Yl. Gr.	4.7
Ni <sub>2</sub> H <sub>2</sub> P <sub>2</sub>	II	Ni(NO <sub>3</sub> ) <sub>2</sub> 6H <sub>2</sub> O	0.2908	bright Yl. Gr.	4.3
NiH <sub>4</sub> P <sub>2</sub>	II	Ni(NO <sub>3</sub> ) <sub>2</sub> 6H <sub>2</sub> O	0.1454	bright Yl. Gr.	4.5
Cu <sub>3</sub> P <sub>2</sub>	I	Cu(NO <sub>3</sub> ) <sub>2</sub> 3H <sub>2</sub> O	0.3624	Yl. Gr.	3.8
Cu <sub>2</sub> H <sub>4</sub> P <sub>2</sub>	I	Cu(NO <sub>3</sub> ) <sub>2</sub> 3H <sub>2</sub> O	0.2416	Yl. Gr.	5.8
CuH <sub>4</sub> P <sub>2</sub>	I	Cu(NO <sub>3</sub> ) <sub>2</sub> 3H <sub>2</sub> O	0.1208	bright Yl. Gr.	8.7
Zn <sub>3</sub> P <sub>2</sub>	I	Zn CO <sub>3</sub>	0.1881	dark Gr.	5.3
Cd <sub>3</sub> P <sub>2</sub>	I	Cd(NO <sub>3</sub> ) <sub>2</sub> 4H <sub>2</sub> O	0.4627	Yl.	2.6
K <sub>3</sub> P*	II	K <sub>2</sub> CO <sub>3</sub>	0.4146	Yl.	
$H_3PMo_{12}O_{40} \times H_2O$	gr.	S.A. $m^2/g\text{-cat.}$		Color	
I x = 19.3	2.1732	5.5		Gr. green	
II x = 23.8	2.2542			Rd. red	
III x = 16.6	2.1228			Wh. white	
				Yl. yellow	
				Or. orange	

\* K<sub>3</sub>P was not produced as Keggin Model.\*\* 'P' in 12-Molybdophosphates represents the abbreviated form of (PMO<sub>12</sub>O<sub>40</sub>)

과의 置換比를 減少시킴에 따라 漸次 基本酸의  
結果와 類似해짐을 確認했다.

觸媒의 結晶構造를 確認하기 為하여 각각의 觸  
媒粉末을 X-線回折分析한 結果 7~10 度의 低回

折角部分에 特有의 強한 回折線이 나타났으며,  
특히  $2\theta = 8^\circ$ 에 最大强度의 回折線이 나타났으  
므로 Keggin 構造의 特性值<sup>1)</sup>와 一致함을 確認  
하였다. Fig. 1은 各 觸媒들의 X-線回折分析

Table 2. Thermal Behavior of Heteropoly 12-Molybdophosphates

Compunds	Hydration Number (X/mole)	Dehydration Temperature (°C)	Decomposition Exo.	Temperature(°C) Endo.
H <sub>3</sub> (PMo <sub>12</sub> O <sub>40</sub> )	20.8	80 136 432		432
Li <sub>3</sub> P	27.2	75 136 361		361 536
Na <sub>3</sub> P	17.4	66 80 128 199		331 402 505
Cs <sub>3</sub> P	7.9	74		>650
Cs <sub>2</sub> HP	10.1	66		550
CsH <sub>2</sub> P	19.2	75 94		431
Mg <sub>3</sub> P <sub>2</sub>	48.4	79 204		457 605
Ca <sub>3</sub> P <sub>2</sub>	36.9	66 114 147 223		439
Sr <sub>3</sub> P <sub>2</sub>	57.7	81 195 421		421 650 662
Ba <sub>3</sub> P <sub>2</sub>	42.3	91 333		425
Al P	42.0	94 163 175		391
Bi P	21.0	72 125 197 401		401 508
Cr P	33.9	93 170 209		448
Mn <sub>3</sub> P	35.9	83 163 218 422		452 577
Fe P	20.6	80 113		425 445
Fe <sub>2</sub> H <sub>3</sub> P <sub>3</sub>	12.9	80 120		445
Fe H <sub>6</sub> P <sub>3</sub>	76.8	66 121		429
Co <sub>3</sub> P <sub>2</sub>	67.0	80 158 216 402		402 458
NiP <sub>2</sub>	43.5	68 113 280 420		484
Ni <sub>2</sub> H <sub>2</sub> P <sub>2</sub>	27.0	83 248 431		477
Ni H <sub>4</sub> P <sub>2</sub>	49.9	71 233 318 436		436
Cu <sub>3</sub> P <sub>2</sub>	58.4	55 193 410		410 440
Cu <sub>2</sub> H <sub>2</sub> P <sub>2</sub>	21.5	66 85 130		359 422
Cu H <sub>4</sub> P <sub>2</sub>	33.6	80 102 146		447 447
Zn <sub>3</sub> P <sub>2</sub>	37.7	83 177		341 448
Cd <sub>3</sub> P <sub>2</sub>	55.3	95 249 380		439 577

\*\* 'P' in 12-Molybdophosphates represents the abbreviated form of (PMO<sub>12</sub>O<sub>40</sub>)

(陰極 : Cu - K $\alpha$ ) 結果 中에서 12-몰리보도磷酸과 Fe 이온으로置換된 盐들에 對한 結果를 例示한 것이다.

### 2.3. 實驗裝置 및 方法

觸媒들의 活性比較 및 反應特性 調查를 爲하여 펄스型 微小反應器( $\phi 5\text{mm} \times 3\text{cm}$  st.st.)를 製作하였으며, 反應 즉시 分析이 可能하도록 가스크로마토그라프에 直接 連結하여 使用하였다. 實驗裝置의 大略的構成은 Fig. 2 와 같다.<sup>6)</sup> 觸媒는 內部의 擴散抵抗을 最少化시키기 爲하여

100~200mesh의 微細한 細末로 細碎한 後 無水 狀態를 基準으로 測量된 實量을 充填시키고, 헬륨가스 分離氣에서 實驗을 行하였다. 反應物은 四方弁을 利用하여 每回 2cc 씩 펄스로 注入하였으며, 水分을 供給한 境遇는 觸媒表面에 吸着될 수 있도록 每回 液相  $1.6\mu\text{l}$ 의 水分을 펄스로 注入하고 3分後 反應物을 導入하였고, 酸素의 境遇는 每回 30cc를 펄스로 注入하고 5分後 反應物을 導入하여 觸媒表面을 酸化시켰다.

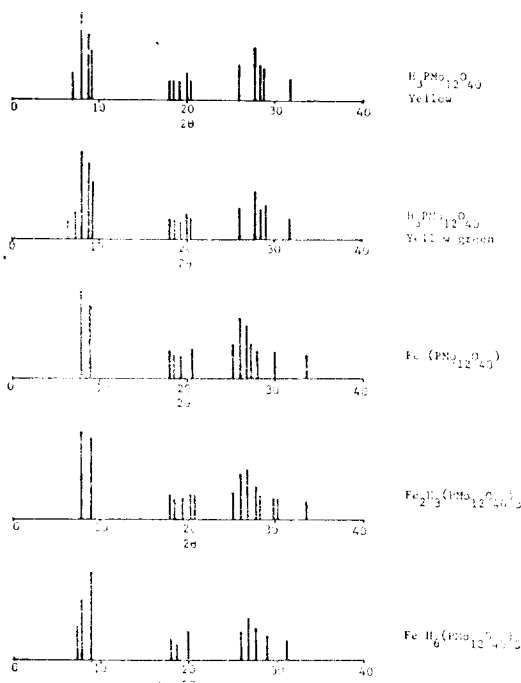
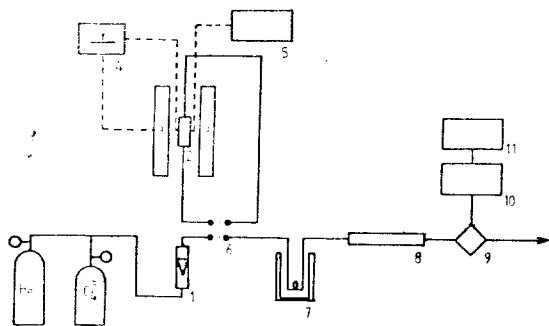


Fig. 1. X-Ray Diffraction Patterns of 12-Molybdo-phosphoric Acids and 12-Molybdo-phosphates



1. Rotameter
2. Micro reactor
3. Electric tubular furnace
4. Temperature controller
5. Potentiometer
6. 4-way valve for sampling
7. Ice bath
8. Column of G.C.
9. TCD detector of G.C.
10. Recorder
11. Digital integrator

Fig. 2. Flow Diagram for Isomerization with Micro-pulse-reactor

#### 2.4. 反應物 및 生成物의 分析

氣體性分의 定性, 定量分析을 為하여 가스크로마토그라프를 使用하였으며, 充填物質로는 Sebaconitrile 을 Chromosorb P에 무게比 25%로 擔持시킨 것 (10m)과, Benzyl Cyanide 와 AgNO<sub>3</sub>를 무게比 2:1로配合한 後, 무게比 36%되게 Shimalite에 擔持시킨 것 (8m)을 使用하였다. 前者는 1-, trans-2-, cis-2-butene의 順序로 butene 類의 分離가 可能하나 isobutylene 이 1-butene 과 경치므로 單獨的인 使用이 어렵다. 後者는 trans-2-butene, isobutylene, 1-, cis-2-butene의 順序로 分離가 可能하나, 1-과 cis-2-butene 사이의 分離能이 弱하므로 反應中 isobutylene 的 生成에 對한 調査에만 使用하였다. 本 實驗의 範圍에서는 1-, trans-2-, cis-2-butene 以外의 物質들, 即 isobutylene, butane 類, 1,3-butadiene 等이 生成되지 않음을 確認하였다. 實驗結果는 Sebaconitrile 첨劑에 依存하여 解析하였다.

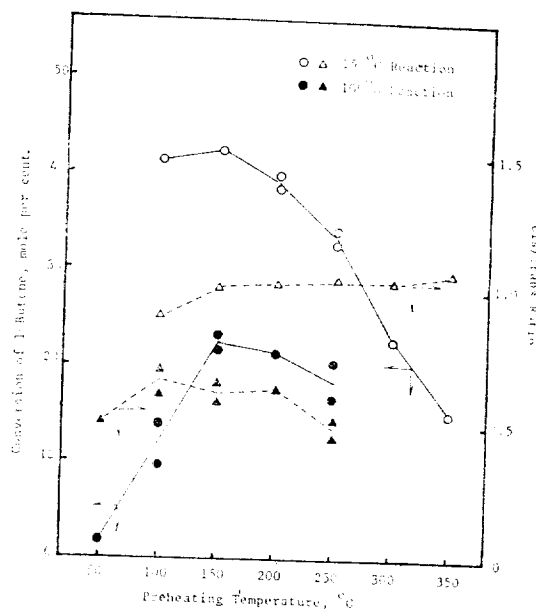


Fig. 3. Effect of the Preheating Temperature on the Catalytic Activity and Selectivity for 1-Butene Isomerization  
Catalyst : H<sub>3</sub>PMo<sub>12</sub>O<sub>40</sub>  
Space Velocity : 2100ml/hr/gr-cat.

### 3. 結果 및 檢討

#### 3.1. 觸媒의 活性變化

##### 3.1.1. 前處理溫度의 影響

12-몰리브도磷酸触媒의 特性을 調査하기 為하여 前處理溫度를 變化시키면서 1-butene을 異化反應시킨 結果를 Fig. 3에 圖示하였다. 前處理溫度가 150°C 일 境遇에 가장 높은 轉換率을 보였으며, 그 以上의 高溫에서 前處理할수록 漸次 轉換率이 減少하는데, 이 結果는 Misono 等의 前處理溫度變化에 따른 12-몰리브도磷酸触媒表面積의 增減曲線<sup>4)</sup>과 매우 類似하다. 따라서 觸媒 單位表面積當 反應活性度는 前處理溫度變化에 無關하게 一定한 것으로 解析되며, 이는 單

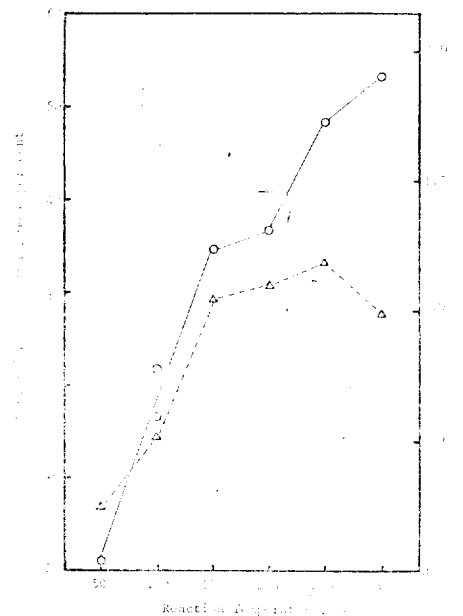


Fig. 5. Effect of Reaction Temperature on the Isomerization of 1-Butene with 250°C Preheating  
Catalyst :  $H_3PMo_{12}O_{40}$   
Space Velocity : 2,100ml/hr./gr-cat.

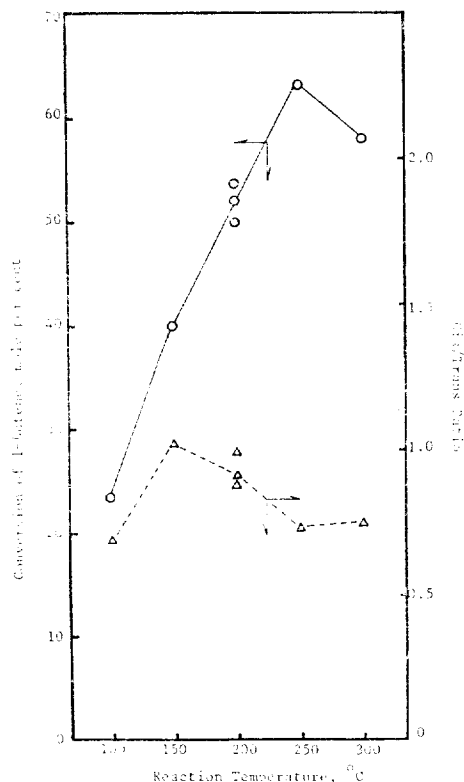


Fig. 4. Effect of Reaction Temperature on the Isomerization of 1-Butene with 200°C Preheating  
Catalyst :  $H_3PMo_{12}O_{40}$   
Space Velocity : 2,100ml/hr./gr-cat.

位表面積當의 酸度(Acidity)가 前處理溫度變化에 無關하게 一定함을 보여준다.

Fig. 4, 5는 觸媒를 200°C 와 250°C에서 各各 前處理한 後, 反應溫度를 變化시키면서 1-butene 轉換率의 變化를 調査한 것이다. Fig. 3의 結果와 같아, 200°C에서 前處理한 境遇가 250°C에서 前處理한 境遇보다 모든 反應溫度範圍에서 높은 活性을 나타낸다는 一般的의 結果를 確認할 수 있었다. 또한 두 境遇는 反應溫度가 前處理溫度보다 50°C 높은 溫度까지 1-butene, 轉換率이 増加한다는 共通點을 보여 주고 있다. 이 結果는 觸媒를 前處理溫度보다 높은 反應溫度로 昇溫시키는 過程을 따라 觸媒內의 結晶水가 段階的으로 脱水되어 觸媒表面에 存在함으로써 表面의 酸度를 強하게 만들기 때문에 解析되며, Fig. 4의 境遇 300°C 以上的 高溫에서 反應시키면 오히려 轉換率이 減少하고 있는데 이것은 前處理 以後 昇溫시키는 溫度變化程度에 따라 脱水되는 結晶水의 量이 反應性에 影響을 주며, 또한 觸媒表面積의 減少에 따라 活

性이減少한 것으로 說明될 수 있다.

### 3.1.2. 水分 및 酸素의 影響

n-butene의 異性化反應에는 水分이 直接 關與하지 않기 때문에, 水分의 存在與否가 觸媒의 活性에 미치는 影響을 쉽게 알 수 있으므로, 同一한 前處理溫度와 反應溫度에서 觸媒表面에 水分을 吸着시킨 境遇와 吸着시키지 않은 境遇의 反應性을 比較하였다. Fig. 6에서 보듯이 一般的으로 水分이 添加되면 反應性이 增加하였다. 特히 250°C以上의 高溫에서 水分添加에 依해 反應性이相當히 向上됨으로써, 水分이 添加되지 않았을 때의 250°C以上高溫에서의 反應性減少原因은 高溫에서 前處理함에 따른 觸媒表面上 結晶水의 不足 때문이라고 解析된다.

水分을 添加한 境遇와 添加하지 않은 境遇의 觸媒의 活性持續度를 比較하여 Table. 3에 나타내었다. 各 溫度에 對해 每回 1ml로 注入된 1-butene의 轉換率을 注入順序에 따라 初期轉換率로 나누어 比較한 것으로서, 水分이 添加되면 觸媒의 活性持續度가 向上됨을 알 수 있다.

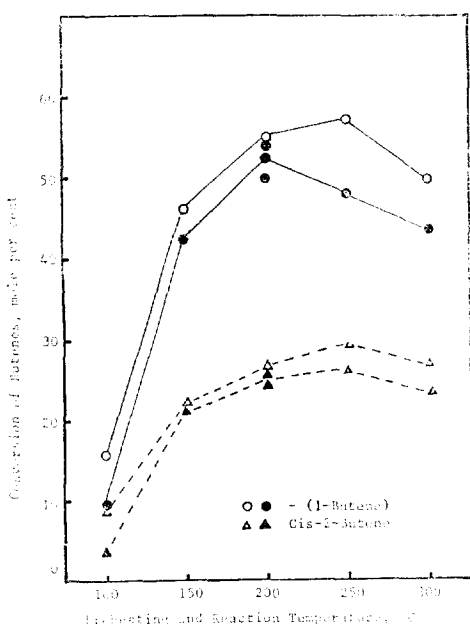


Fig. 6. Effect with Injection of  $\text{H}_2\text{O}$  ( $\circ$ ,  $\triangle$ ) and without it ( $\bullet$ ,  $\blacktriangle$ ) on the Isomerization of Butenes  
Catalyst :  $\text{H}_3\text{PMo}_{12}\text{O}_{40}$   
Space velocity : 2, 100ml/hr./gr-cat.

Table 3. Effect of  $\text{H}_2\text{O}$  Injection on the Decrease of Catalytic Activity of  $\text{H}_3\text{PMo}_{12}\text{O}_{40}$  (second or third pulse reaction activity per first pulse reaction activity)

Preheating & Reaction Temperature	without	with
	$\text{H}_2\text{O}$ Injection	$\text{H}_2\text{O}$ Injection
100°C	1.0 (9.4)	1.0 (15.8)
	0.99( 9.3)	0.83(13.1)
	0.46( 4.3)	0.58( 9.2)
150°C	1.0 (42.6)	1.0 (46.2)
	0.55(23.4)	0.90(41.6)
	0.49(20.9)	0.73(33.7)
200°C	1.0 (52.1)	1.0 (54.0)
	0.81(42.2)	0.92(49.7)
	0.77(40.1)	0.81(43.7)
250°C	1.0 (48.1)	1.0 (57.2)
	0.52(25.0)	0.92(52.6)
	0.50(24.1)	0.84(48.0)
300°C	1.0 (43.7)	1.0 (49.7)
	0.80(35.0)	0.89(44.2)

\* Conversion of 1-Butene in mole per cent are given in the Parenthesis.

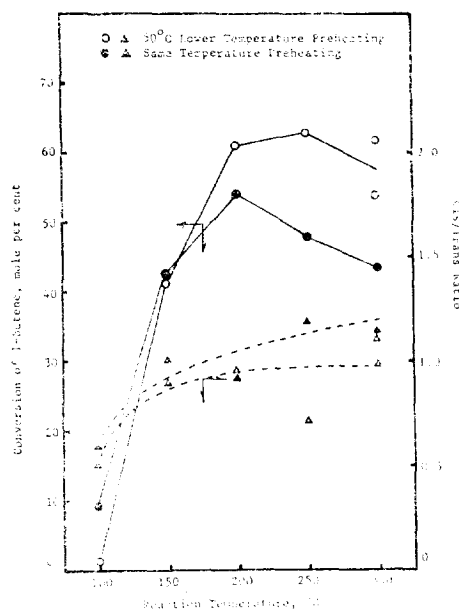


Fig. 7. Effect of Preheating Temperature of 5°C lower than Reaction Temperature on the Isomerization of 1-Butene  
Catalyst :  $\text{H}_3\text{PMo}_{12}\text{O}_{40}$   
Space velocity : 2, 100ml/hr./gr-cat.

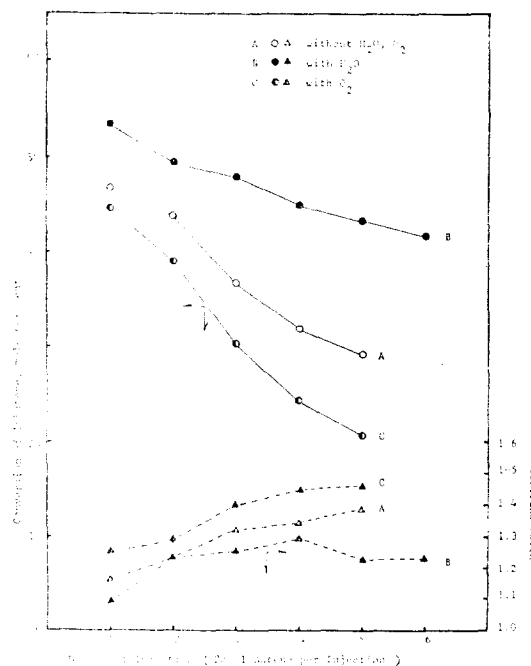
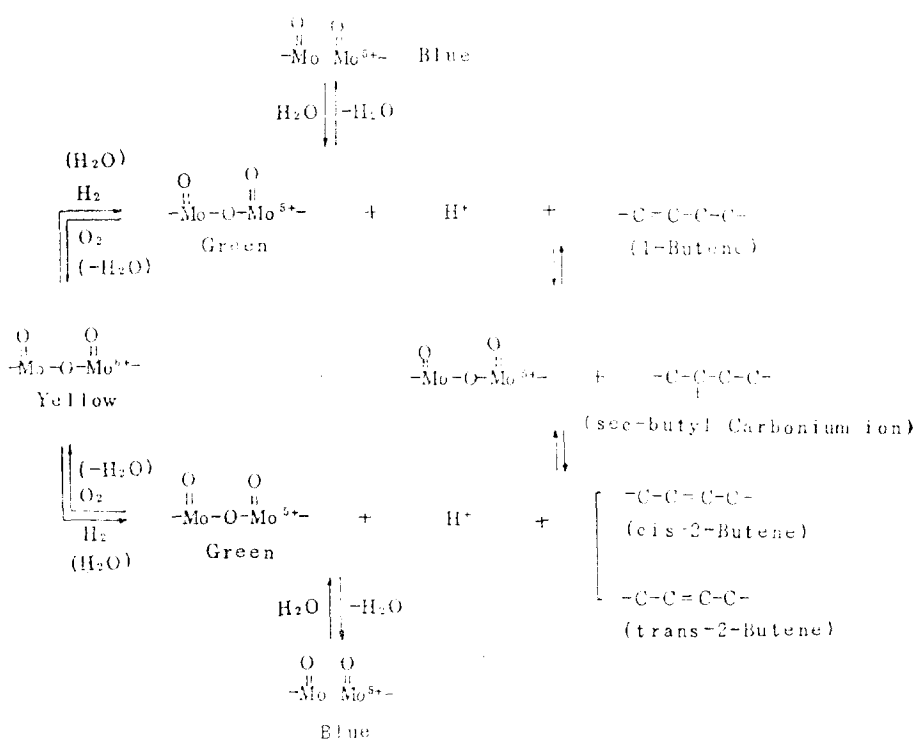


Fig. 8. Effect of  $H_2O$  and  $O_2$  Injection  
Activation and Reaction Temperature :  
 $250^\circ C$   
Catalyst :  $H_3(PMo_{12}O_{40})$   
Space velocity : 1,500ml/hr./gr-cat.

同一한触媒에 대해 반응온도보다  $50^\circ C$  낮은 온도에서触媒를前處理한境遇와反應온도에서前處理한境遇의 1-butene의 轉換率을比較하여 Fig. 7에 因示하였다.  $50^\circ C$  낮은 온도에서前處理한境遇,  $200^\circ C$  以上의反應온도에서는 더 높은活性을 보이지만  $150^\circ C$  以下에서는 오히려 낮은活性을 나타내고 있다.水分을添加함에 따라反應性이增加한다는結果와關聯시켜볼 때, 이것은 온도增加에 따라触媒內의結晶水가段階的으로脫水되고 있다는事實을確認시켜 주었다. 즉  $150^\circ C$  以下의境遇에는前處理後  $50^\circ C$ 增加된 온도에서脫水되는結晶水의量이反應性을增加시킬 수 있는量以上으로表面上에存在함으로써 오히려反應性을減少시키지만,  $200^\circ C$  以上의境遇에는熱分析結果에서보았듯이微量의水分만이漸次的으로表面上에나타남으로써反應性을增加시켜 주고 있는것을 알수 있다.

1-butene을  $1,500\text{ml}/\text{hr}/\text{gr-cat}$ .의空間速度로接觸시킬 때,液相  $1.6\mu\text{l}$ 의水分을每回注入後反應시킨境遇와,酸素  $30\text{cc}$ 를每回注入



시킨後反應시킨境遇의反應性을純粹한觸媒上에서의反應性과比較하여 Fig. 8에圖示하였다.水分을注入하면反應性 및活性持續度가增加되지만,酸素을注入하여觸媒를酸化시킨後反應을시키면反應性 및活性持續度가떨어졌다.

以上의結果로부터, 12-몰리브도磷酸의觸媒表面은適定量의水分에依하여活性持續度를向上시킬수있으며, 이것은메타크릴레인으로부터메타크릴酸의製造時水蒸氣의存在가觸媒活性을좋게維持시키는役割을하는結果<sup>5)</sup>와一致함을알수있다.適定量의水分이反應性을向上시키는것은觸媒surface에서의水分이酸度를強하게만드는役割을하기때문이라고보여지며,따라서,觸媒surface에는Brönsted acid site가存在하여反應에關與한다는解析이可能하다.

### 3.2. 觸媒反應機構

12-몰리브도磷酸觸媒를酸素分圍氣에서加熱하면軟綠色의固體가노란색으로變하며,여기에水素를通過시키면짙은綠色으로變함을볼수있었다.觸媒를酸素로酸化시키면Mo의酸化數가 $Mo^{5+}$ 에서 $Mo^{6+}$ 로增加하며,水素로써還元시키면逆으로 $Mo^{6+}$ 에서 $Mo^{5+}$ 로酸化數의減少가일어난다.따라서 $Mo^{5+}$ 狀態를持이包含하는觸媒는綠色을띄며, $Mo^{6+}$ 狀態의觸媒는노란색을됨을알수있다.12-몰리브도磷酸觸媒上에水分을添加시키면反應性이向上되어酸素을供給하면反應性이減少한다는result와,軟綠色을띈12-몰리브도磷酸觸媒가노란색을띈觸媒보다높은反應活性을갖는다는result로부터n-butene異性化反應에關與하는觸媒는主로 $Mo^{5+}$ 狀態라고解析되며,이를Misono<sup>5)</sup>等이主張한 해태로폴리酸系化合物의酸化還元機構와聯關시켜다음과같은反應機構를세울수있었다.여기에서觸媒가青色을띄면反應活性은없었지만,이狀態는觸媒構造의變形溫度(300~500°C)以內에서는可逆의인것으로알려져있다.<sup>5)</sup>

### 3.3. 觸媒의活性比較

金屬이온과12-몰리브도磷酸中의水素이온을置換하여製造한金屬鹽觸媒들의n-butene異性化反應의活性을比較하기爲하여反應溫度150°C에서2cc의1-butene을펄스로注入하였다. Fig. 9는金屬이온으로12-몰리브도磷酸觸媒내의水素이온을모두置換시켜製造한觸媒의反應活性을比較한것이며, Fig. 10은水素이온을一部만置換하여製造한金屬鹽觸媒의反應活性을比較한것이다.Cs, Na等의IA族 알칼리金屬鹽들과Al鹽等이높은活性을보이는反面,IIA族과轉移金屬鹽等은대체로低活性을보이며,다만Fe鹽만이比較的나은活性을나타냈다.이들을利用하여觸媒의單位表面積當1-butene의轉換率과trans/cis比와의關係를Fig. 11과12에圖示하였다.一般的으로1-butene의轉換率을크게하는觸媒는높

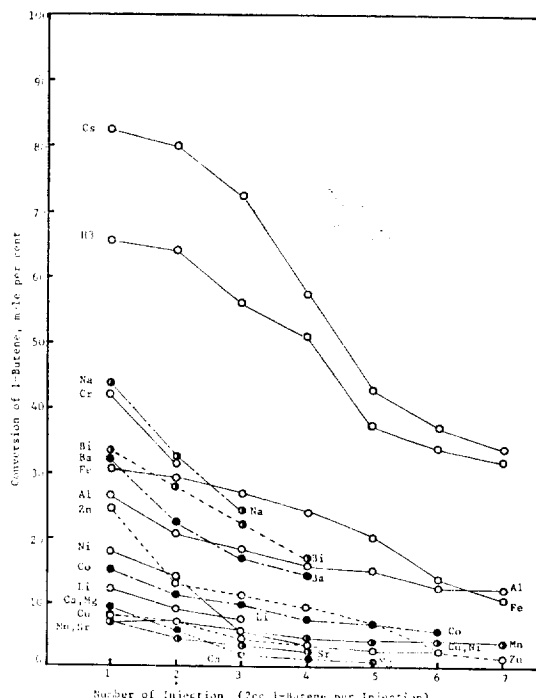


Fig. 9. Catalytic Activity Change of 12-Molybdo-phosphates (a)  
 $H_3 : H_3(PMo_{12}O_{40})$ ,  
 $M : M^{n+}_{3/n}(PMO_{12}O_{40})$   
 Preheating and Reaction Temperature : 150°C  
 Space Velocity : 2, 100ml/hr./gr-cat.

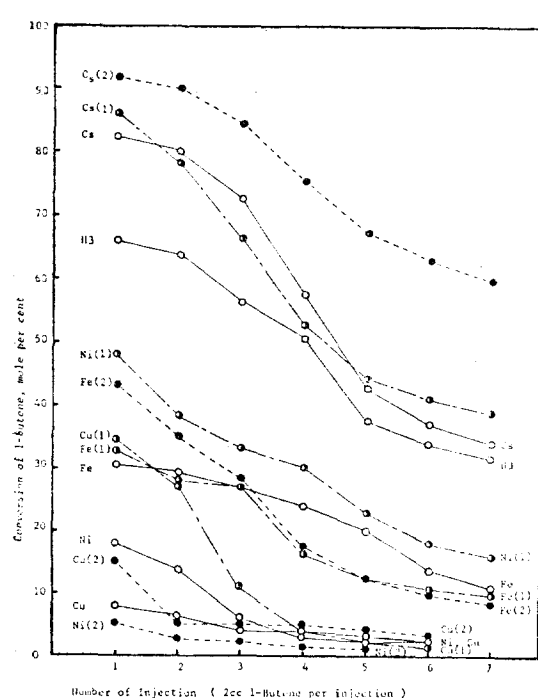


Fig. 10. Catalytic Activity Changes of 12-Molybdoephosphates (b)  
M(2) :  $\text{Fe}_2\text{H}_6\text{P}_3$   $\text{Cu}_2\text{H}_2\text{P}_2$   $\text{Ni}_2\text{H}_2\text{P}_2$   $\text{Cs}_2\text{HP}$   
M(1) :  $\text{FeH}_6\text{P}_3$   $\text{CuH}_4\text{P}_2$   $\text{NiH}_4\text{P}_2$   $\text{CsH}_2\text{P}$   
Preheating and Reaction Temperature :  
 $150^\circ\text{C}$   
Space velocity : 2,100ml/hr./gr-cat.

은 trans/cis 比를 갖는 것으로 나타났는데, 이 것은 1-butene의 异性化反應이 cis-2-butene을 거쳐 热力学的으로 더욱 安定된 trans-2-butene

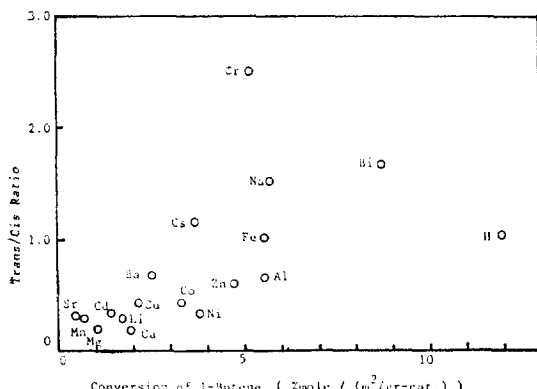


Fig. 11. Catalytic Activities and Selectivities of 12-Molybdoephosphates for 1-Butene isomerization

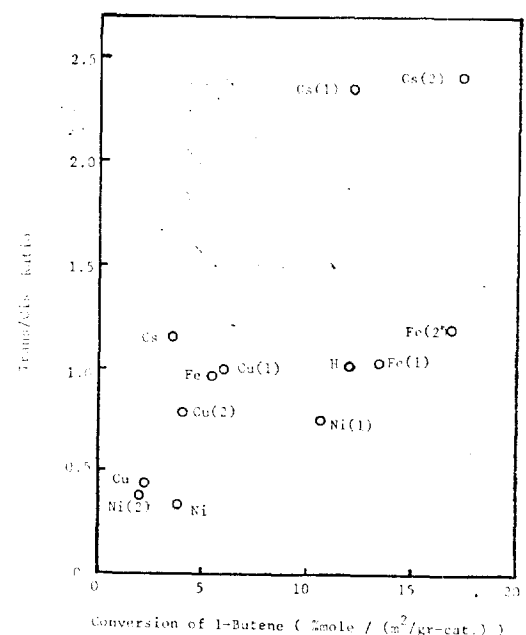


Fig. 12. Catalytic Activites and Selectivities of 12 Molybdophosphates

으로 轉換率을 나타낸다. Fig. 12에서 보면, 12-몰리브도磷酸觸媒內의 水素이온을一部置换하면, 金屬이온固有의 特性과 殘留水素이온의 特性과의 復合的影響에 依해, 水素이온을 全部 金屬이온으로置換한 境遇보다 높은活性을 나타냈다. 이結果를 觸媒構造의 外殼水素이온 ( $\text{H}^+$ , Proton)이 存在한다는 實驗報告<sup>5)</sup>와 聯關시켜 볼 때, 12-몰리브도磷酸系 觸媒上에서의 n-butene의 异性化反應은 Brønsted acid site에 依存하고 있음을 確認할 수 있었다. Cs과 같이活性이 높은 IA族金屬이온과 Mn과 같이持續성이 좋은 轉移金屬이온等을 基本酸의一部水素이온과置換하여復合的인 헤테로폴리酸系金屬鹽을 製造하면,活性와持續性을 함께 갖는 有用한 觸媒가 開發될 수 있으리라 본다.

#### 4. 結論

1. 12-몰리브도磷酸触媒上에서 1-butene의 异性化反應時 最適前處理溫度는  $150^\circ\text{C}$ 이었으며, 前處理溫度變化에 對한 反應性의 增減形態는 溫度變化에 따른 觸媒表面積의 增減曲線과 대

우 類似하였다.

2. 觸媒의 活性 및 活性持續度는 適定量의 水分을 添加시키면 增加하였으며, 酸素로 酸化시키면 減少하였다. 水分은 觸媒表面의 脫水에 依한 低活性 狀態를 防止하며, Brönsted acid site 를 活性화시켜 주는 것으로 解析되었다. 觸媒內의 Mo 이 還元된 綠色狀態( $\text{Mo}^{6+}$ )가 酸化된 黃色狀態( $\text{Mo}^{6+}$ )보다 높은 活性을 나타냈다.

3. 12-몰리브도磷酸 觸媒내에 存在하는 水素이온을 完全히 金屬이온으로 置換한 金屬鹽은 基本酸 觸媒보다 낮은 活性을 나타낸 反面, 水素이온을 一部만 置換한 金屬鹽은 向上된 活性을 나타냄으로써, 12-몰리브도磷酸系 觸媒의 酸度는 單位結晶構造外殼의  $\text{H}^+$ -이온에 依한 Brönsted acid site에 起因하는 것으로 解析되었다.

1. 大竹正之, 小野田武, 觸媒, 18, 169(1976).
2. G.A. Tsigdinos, Ind. Eng. Chem., Prod. Res. Develop., 13(4), 267(1974).
3. 李華榮, 化學工學, 17(5), 317(1979).

4. M. Misono, Y. Konishi, M. Furuta and Y. Yoneda, Japan Chemistry Letters, 709 (1978).
5. W.Y. Lee, M. Misono, K. Sakata, and Y. Yoneda, the 7th International Congress on Catalysis, B27, Tokyo (1980).
6. 金在振, 工學博士學位論文, 서울大學校 大學院 化學工學科(1981).
7. T.W. Hightower and W.K. Hall, J. Phys. Chem., 71(4), 1, 014(1967).
8. D.M. Brouwer, J. Catal., 1, 22(1962).
9. W.O. Hagg and H. Pines, J. Amer. Chem. Soc., 82, 2, 488(1960).
10. P.J. Lucchesi, D.L. Baeder and J.P. Longwell, J. Amer. Chem. Soc., 81, 3, 235 (1959).
11. W.W. McCarthy and T. Turkevich, J. Chem. Phys., 12, 405(1944).
12. G.B. Kistiakowsky and W.R. Smith, J. Amer. Chem. Soc., 58, 766(1936).
13. N.S. Raghavan and L.K. Doraiswamy, J. Catal., 48, 21(1977).
14. M.P. Rosynek and J.S. Fox, J. Catal., 49, 285(1977).
15. J. Goldwasser and W.K. Hall, J. Catal., 63, 520(1980).

